

7 Ali Bitkinin Zülal Kodlaşdırın Nüvə Genlərinin Potensial Transkripsiya Start Saytlarının Müəyyənləşdirilməsi

H.F. Quliyeva*, Ə.Ü. Abduləzimova, N.Ş. Mustafayev, İ.Ə. Şahmuradov

AMEA Molekulyar Biologiya və Biotexnologiya İnstitutu, Mətbuat prospekti, 2A, Bakı AZ1073, Azərbaycan;
*E-mail: aliyeva-hokume@mail.ru

Birləpəli *Oryza sativa* və *Zea mays*, ikiləpəli *Arabidopsis thaliana*, *Glycine max*, *Medicago truncatula*, *Populus trichocarpa* və *Vitis vinifera* bitkilərinin müvafiq surətdə 22258, 23330, 17896, 18226, 17645, 38702 və 11035 zülal kodlaşdırın nüvə genlərinin [1000:+101] 5'-nahiyyələrində (+1: genlərin annotasiya olunmuş start nöqtəsi) TSSPlant kompüter programının köməyi ilə potensial transkripsiya start saytlarının (TSS) - promotorların axtarışı həyata keçirilmişdir. Nəticədə 7 bitki növündən 149092 genin hər biri üçün ən azı bir potensial TSS müəyyənləşdirilmişdir. Aşkar olunmuş promotorların həm bütün genlər üzrə, həm də ayrıca olaraq plastid və mitoxondri təyinatlı genlər üzrə müqayisəli təhlili aşkar etmişdir ki, bu orqanizmlərin hamısında bütün hallarda qeyri-TATA promotorlar aşkar üstünlük təşkil edirlər (~30% TATA/70% qeyri-TATA). Hər bir gen üçün annotasiya olunmuş gen başlangıcına ən yaxın TSS götürülməklə, potensial TSS (TSSp) və gen başlangıcı arasındaki məsafələrin təhlili göstərmişdir ki, bütün orqanizmlər üzrə genlərin təxminən 70%-i üçün bu məsafə 100 nc-dən çox deyildir. Bu müşahidə TSSPlant programının kifayət qədər yüksək axtarış dəqiqliyinə dəlalət edir.

Açar sözlər: Ali bitki, genom, gen, TATA-boks, promotor, TSS, kompüter analizi

GİRİŞ

Hazırda, insan, gəmiricilər və meymunlar da daxil olmaqla, genomların oxunması üzrə doqquz yüzə yaxın layihə vardır (<http://www.ncbi.nlm.nih.gov/genomes/leuks.cgi>) və hazırda nukleotid ardıcılılığı məlum olan genomların quruluş və funksiya baxımından annotasiyası nəzəri və praktiki baxımdan ən aktual məsələlərdən biridir.

Genom annotasiyasının mühüm problemlərindən biri promotorların müəyyənləşdirilməsidir. Lakin bu gün genom ardıcılıqlarında promotorların tapılması sadə məsələ deyildir. Promotor ardıcılıqlarının gen-səciyyəvi arxitekturası və bu sahədə mövcud biliklərin məhdud olması onların axtarışı üçün ümumi strategiyanın yaradılmasını müskül problem edir. Genom nahiyyələrinin transkripsiyasını tənzimləyən transkripsiya faktorlarının (TF) qısa (5-15 nukleotid cütü, nc) nukleotid ardıcılıqlarından ibarət birləşmə saytları (TFBS) əsasən promotorlarda yerləşir. Hər bir promotor belə tənzimləyici elementlərin unikal tərkibi ilə səciyyələnir ki, bu da özünəməxsus gen ekspresiyasını müəyyən edir. Eukariotlarda zülal kodlaşdırın genlərin və həmçinin bəzi kiçik RNT genlərinin transkripsiyası RNT II polimeraza (Pol II) vasitəsilə həyata keçirilir. Transkripsiyanın start saytının (TSS) daxil olduğu Pol II promotor nüvəsi ("core promoter") TSS-na (+1) nəzərən -60:+40 rayonunu əhatə edir. Həmin nüvədən əvvəl yerləşən 200-300 nc uzunluğunadakı nahiyyə isə proksimal promotordur. Proksimal promotorda transkripsiyanın özünəməxsus qaydada

tənzimlənməsi üçün tələb olunan çoxsaylı TFBS-ları yerləşir. Bundan başqa, promotorun proksimal promotordan əvvəldə yerləşən distal hissəsində də TFBS-ları (enhancerlər, saylenserlər, insuleytorlar) vardır (Hebing et al., 2015; Geetu et al., 2014; Tak-Ming et al., 2012; Fred et al., 2016.).

Heyvan və bitki orqanizmlərinin promotorlarının təxminən 30-50%-ində TSS-dan 25-45 nc məsafəsində yerləşən və TATA-boks adlanan element vardır - bu promotorlar TATA-promotor adlanır. Eukariot promotorlarında indiyədək aşkar edilmiş ən konservativ element TATA-boks yüksək dərəcədə ekspressiya olunan genlərin çoxunun promotorunda vardır (Smale et al., 2003; Butler et al., 2002; Lemon et al., 2001; Sandelin et al., 2007; Zuo et al., 2011).

Lakin bir çox gen qruplarında (məsələn, "ev təsərrüfatı genləri; housekeeping genes") TATA-boks yoxdur - belə promotorlar qeyri-TATA (TATA-less) promotorlar adlanır. Bu tip promotorlarda TSS-nin mövqeyi CpG adaları və/ya "inisiasiya elementi" (initiator element), Inr, və/ya DPE (downstream promoter element) vasitəsilə tənzimlənir (Suzuki et al., 2001; Cooper et al., 2006; Xu et al., 2016).

İndiyədək tədqiq olunmuş promotorların əksəriyyətində çoxsaylı, alternativ TSS-lər aşkar olunmuşdur (Suzuki et al., 2001; Carninci et al., 2006; Taylor et al. 2006; Davuluri et al., 2008). TSS-ları əksər hallarda gen başlangıcından əvvəldə yerləşsə də, onlara genlərin "daxilində" - transkripsiya olunan hissələrdə olması da nadir hadisə deyildir (Koch et al., 2008; Shahmuradov et al., 2016).

Hazırda bitkilərin təcrübə yolla müəyyənləşdirilmiş 2 tip promotor (TSS) kolleksiyaları mövcuddur.

- 1) Tam uzunluqlu komplementar DNT (TUKDNT; *full-length cDNA, FL-cDNA*) ardıcılıqlarının genom ardıcılıqları ilə müqayisəsi əsasında müəyyənləşdirilən kolleksiyalar; məsələn, RARGE DB (Sakurai et al., 2005; Akiyama et al., 2014) və ppdb (Yamamoto et al., 2008; Hieno et al., 2014).
- 2) TSS da daxil olmaqla, promotor dəstləri birbaşa təcrübə yollarla müəyyənləşdirilmiş kolleksiyalar; məsələn, EPD (Dreos et al., 2013, 2015), PlantProm DB (Shahmuradov et al., 2003).

Birinci tip bazalar içərisində ppdb ən böyük məlumat resursudur. Bu bazanın son buraxılışında (versiya 3.0; Hieno et al., 2014; <http://ppdb.agr.gifu-u.ac.jp/ppdb/cgi-bin/index.cgi>) kəsəkotu (*Arabidopsis thaliana*), düyü (*Oryza sativa*), qovaq (*Populus trichocarpa*) və məmər (*Physcomitrella patens*) bitkilərindən on minlərlə Pol II promotorları üzrə məlumat toplanmışdır. O cümlədən, bu bazada kəsəkotunun zülal kodlaşdırın genlərinin hamısı (27206) və düyüün annotasiya olunmuş 32325 zülal kodlaşdırın genindən 12535 gen üçün TSS məlumatı vardır. Digər tərəfdən, bizim analiz aşkar etmişdir ki, kəsəkotunun və düyüün müvafiq surətdə 7878 (~29%) və 1554 (~13%) geni üçün xəritələşdirilmiş TSS ilə müvafiq genin kodlaşdırın DNT ardıcılığının (KDA; *coding DNA sequences CDS*) annotasiya olunmuş başlangıç nöqtəsi arasındakı məsafə, d(TSS,KDA), 10 nc-dən azdır. Məlumdur ki, TSS və KDA başlangıcı arasındaki nahiyə - 5'-translyasiya olunmayan rayon (TOR; untranslated region, UTR) ribosomların mRNT ilə birləşməsi translyasiyanı həyat keçirməsi üçün tələb olunur. İndiyədək 5'-TOR-un minimum uzunluğu məlum olmasa da, belə hesab olunur ki, translyasiyanın düzgün və tələb olunan səviyyədə getməsi üçün həmin rayonun uzunluğu, ən azı, 20 nukleotid olmalıdır (Chen et al., 2011; Kim et al., 2014; Hinnebusch et al., 2016). Bu halda belə nəticə hasil olur ki, ppdb bazasında minlərlə gen üçün TSS məlumatları yeni təcrübələrlə dəqiqləşdirilməlidir.

İkinci tip bazalar içərisində ilk buraxılışı 2003-cü ildə təqdim olunmuş PlantProm DB həm tərkibindəki TSS-larının ümumi sayına, həm də toplanmış məlumatların təhlilolunma aspektlərinə görə ən böyük resursdur. Bu bazanın hazırkı buraxılışı 86 bitki növündən hər bir TSS üçün ayrılıqda birbaşa təcrübə vasitəsi ilə müəyyənləş-dirilmiş və çap olunmuş məqalə ilə təsbit olunmuş 576 TSS üzrə məlumatlar toplanmışdır (Shahmuradov et al., 2012; <http://www.softberry.com/plantprom2016/>).

Bu uğurlara baxmayaraq, bitkilərin təcrübə yolla müəyyənləşdirilmiş promotor kolleksiyaları

bitki promotorlarının çox kiçik bir hissəsini təşkil edir. Ümumiyyətlə, TSS-larının təcrübə yolla müəyyənləşdirilməsi hələ də bahalı və çətin prosesdir. Bu səbəbdən kompüter analizi vasitəsi ilə TSS-larının aşkar edilməsi səmərəli yanaşma olaraq qalır (Mundade et al., 2014; Suryamohan et al., 2015; Levati et al., 2016).

Son 20 ildə promotorların (TSS-larının) axtarışı üzrə bir sıra kompüter proqramları yaradılmışdır, o cümlədən: EP3 (Abeel et al., 2008), TSSPTCM (Shahmuradov et al., 2005), TSSP (<http://www.softberry.com/berry.phtml?topic=tssp&group=programs&subgroup=promoter>), PromPredict (Rangannan et al., 2009; Morey et al., 2011). Bu yaxınlarda bitkilərin Pol II promo-torlarının axtarışı üzrə yeni bir proqram, TSSPlant, yaradılmışdır (Shahmuradov et al., 2017). Həmin proqram bu sahədə indiyədək yaradılmış digər proqramlarla müqayisədə ən yüksək axtarış dəqiqliyi ilə səciyyələnir.

Təqdim olunan işin əsas məqsədi birləpəli və ikiłəpəli bitkilərin bəzi nümayəndlərinin (cəmi 7 növün) plastid və mitokondri təyinatlı zülal kodlaşdırın nüvə genlərinin və onların potensial TSS xəritələrinin kompüter vasitəsi ilə müəyyənləşdirilməsi olmuşdur. Aşağıda həmin araşdırımaların nəticələri verilir və müzakirə olunur.

MATERIAL VƏ METODLAR

Ali bitki genomunda güman edilən promotorların (TSS-larının) axtarışı üçün 7 bitki növünün nüvə genomunun annotasiyasından istifadə edilmişdir (<http://plants.ensembl.org/info/website/ftp/index.html>): birləpəli düyü (*Oryza sativa*, 35655 gen; genom assemblyası IRGSP-1.0) və qarğıdalı (*Zea mays*; 36988 gen; genom assemblyası AGPv3), ikiłəpəli kəsəkotu (*Arabidopsis thaliana*; 27201 gen; genom assemblyası TAIR10), qara yonca (*Medicago truncatula*; 47202 gen; genom assemblyası MedtrA17_4.0), qovaq ağacı (*Populus trichocarpa*; 38449 gen; genom assemblyası JGI2.0), şərab üzümü (*Vitis vinifera*; 26118 gen; genom assemblyası IGGP_12x) və soya (*Glycine max*; 53151 gen genom assemblyası; v1.0). Analiz üçün, getseqPP kompüter proqramından (Shahmuradov, çap olunmamışdır) istifadə etməklə, annotasiya olunmuş zülal ardıcılıqları və müvafiq genlərin [-1000: +101] rayonları (+1: genin start nöqtəsi) götürülmüşdür. Promotor axtarışı üçün yalnız uzunluğu 20 nc və daha çox olan 5'-TOR ilə annotasiya olunmuş zülal kodlaşdırın genlər seçilmişdir; bir neçə başlangıç nöqtəsi annotasiya olunmuş genlər üçün ən uzun 5'-TOR-a uyğun başlangıç nöqtəsi götürülmüşdür.

Genomda gen duplikasiyaları nəticəsində bir neçə nüsxə ilə təmsil olunan genlərdən və müvafiq zülallardan yalnız biri seçilmişdir. Bu məqsədlə əvvəlcə zülalların və müvafiq genlərin promotor nahiyyələrinin BLAST program paketi (Altschul et al., 2004) vasitəsi ilə növdaxili cüt-cüt müqayisəsi aparılmış və daha sonra BLAST nəticələri BLAN və getseqPP (Şahmuradov, çap olunmamışdır) kompüter proqramlarının köməyi ilə tohlil edilmiş, tam uzunluqlu və oxşarlıq dərəcəsi 90%-dən aşağı olmayan ardıcılıqlardan yalnız biri götürülmüşdür. Nəticədə, *O. sativa*, *Z. mays*, *A. thaliana*, *M. truncatula*, *P. trichocarpa*, *V. vinifera* və *G. max* bitkilərindən müvafiq surətdə 22258, 23330, 17896, 18226, 17645, 11035 və 38702 zülal və promotor ardıcılıqları seçilmişdir.

TSS-larının axtarışı Şahmuradov, Umarov və Solovyov tərəfindən bu yaxınlarda yaradılmış TSSPlant kompüter proqramı (www.cbrc.kaust.edu.sa/download/files/TSSPlant_linux.tar.gz) vasitəsi ilə aparılmışdır.

Zülalların mümkün təyinat yerləri ProtComp proqramının vasitəsi ilə müəyyənləşdirilmiş (<http://www.softberry.com/berry.phtml?topic=prot&omppl&group=programs&subgroup=proloc>).

NƏTİCƏLƏR VƏ ONLARIN MÜZAKİRƏSİ

Plastid və mitoxondri təyinatlı genlərin proqnozlaşdırılması. *O. sativa*, *Z. mays*, *A. thaliana*, *M.*

truncatula, *P. trichocarpa*, *V. vinifera* və *G. max* bitkilərindən 149092 zülal ardıcılılığı ProtComp kompüter proqramı vasitəsi ilə analiz edilmişdir və hər növ üçün potensial plastid və mitoxondri təyinatlı zülal ardıcılıqları dəstləri müəyyənləşdirilmişdir. Kəsəkotunda 3997 plastid və 1533 mitoxondri; soyada 5256 plastid və 2339 mitoxondri; qara yoncada 3759 plastid və 1569 mitoxondri, qovaq ağacında 3215 plastid və 1307 mitoxondri, şərab üzümündə 2093 plastid və 832 mitoxondri, düyüdə 4525 plastid və 1761 mitoxondri, qarğıdalıda 5159 plastid və 1933 mitoxondri təyinatlı nüvə genləri aşkar edilmişdir (Cədvəl 1). Bu analizin maraqlı nəticələrindən biri tranzit peptidlərinə görə plastidlərə yaxud mitoxondrilərə ünvanlanması güman edilən zülalların ümumi sayı üzrə növlərarası böyük fərq müşahidə olunur. Cox güman ki, müşahidə olunan fərq müxtəlif növlərdə annotasiya olunmuş genlərin (zülalların) sayında olan fərqlə bağlıdır. Lakin həmin fərq hər bir növün özünəməxsus xüsusiyyətləri ilə də bağlı ola bilər. Hazırda bu istiqamətdə araşdırılmalarımız davam edir.

Potensial transkripsiya start saytlarının müəyyənləşdirilməsi. TSSPlant proqramının köməyi ilə 7 bitki növündən 149092 genin hər birinin 5'-nahiyəsində ən azı bir potensial promotor (TSS) aşkar edilmişdir. Aşkar olunmuş promotorlar həm bütün genlər üzrə, həm də ayrıca olaraq plastid və mitoxondri təyinatlı genlər üzrə müqayisəli təhlil olunmuşdur. Alınmış nəticələrin əsas integrallı məqamları Cədvəl 1-də verilmişdir. Bu analizin məqamları

Cədvəl 1. 7 ali bitkinin zülal kodlaşdırıcı nüvə genlərinin potensial transkripsiya start saytları üzrə ümumi statistik göstəricilər

| Orqanizm | Zülal genləri dəsti | Dəstdəki genlərin sayı | TATA promotorları | Qeyri-TATA promotorları | TATA/qeyri-TATA, % |
|-------------|----------------------|------------------------|-------------------|-------------------------|--------------------|
| <i>A.t.</i> | Bütün genlər | 17896 | 5534 | 12362 | 30.9/69.1 |
| | Plastid təyinatlı | 3994 | 1266 | 2728 | 31.7/68.3 |
| | Mitoxondri təyinatlı | 1532 | 469 | 1063 | 30.6/69.4 |
| <i>G.m.</i> | Bütün genlər | 38702 | 5833 | 32896 | 15.1/84.9 |
| | Plastid təyinatlı | 5252 | 669 | 4583 | 12.7/87.3 |
| | Mitoxondri təyinatlı | 2339 | 332 | 2007 | 14.2/85.8 |
| <i>M.t.</i> | Bütün genlər | 18226 | 3600 | 14626 | 19.8/80.2 |
| | Plastid təyinatlı | 3759 | 657 | 3102 | 17.5/82.5 |
| | Mitoxondri təyinatlı | 1569 | 268 | 1301 | 17.1/82.9 |
| <i>P.t.</i> | Bütün genlər | 17645 | 4016 | 13629 | 22.8/77.2 |
| | Plastid təyinatlı | 3215 | 623 | 2592 | 19.4/80.6 |
| | Mitoxondri təyinatlı | 1307 | 264 | 1043 | 20.2/79.8 |
| <i>V.v.</i> | Bütün genlər | 11035 | 2999 | 8036 | 27.2/72.8 |
| | Plastid təyinatlı | 2083 | 467 | 1616 | 22.4/77.6 |
| | Mitoxondri təyinatlı | 829 | 201 | 628 | 24.2/75.8 |
| <i>O.s.</i> | Bütün genlər | 22258 | 7457 | 14801 | 33.5/66.5 |
| | Plastid təyinatlı | 4508 | 1310 | 3198 | 29.1/70.9 |
| | Mitoxondri təyinatlı | 1756 | 519 | 1237 | 29.6/70.4 |
| <i>Z.m.</i> | Bütün genlər | 23330 | 8949 | 14381 | 38.4/61.6 |
| | Plastid təyinatlı | 5137 | 1825 | 3312 | 35.5/64.5 |
| | Mitoxondri təyinatlı | 1921 | 681 | 1240 | 35.5/64.5 |

A.t. – Arabidopsis thaliana; M.t. – Medicago truncatula; P.t. – Populus trichocarpa; G.m. – Glycine max; V.v. – Vitis vinifera;
O.s. – Oryza sativa; Z.m. – Zea mays.

Cədvəl 1-də verilmişdir. Bu analizin aşkar etdiyi ümumi və maraqlı fakt odur ki, tədqiq olunmuş orqanizmlərin hamisində həm bütün genlər, həm də yalnız plastid yaxud mitoxondri təyinatlı genlərdə qeyri-TATA tipli promotorlar aşkar üstünlük təşkil edirlər.

Daha sonra, hər bir orqanizm üçün ayrılıqda həm bütün genlər, həm də yalnız plastid və mitoxondri təyinatlı genlər üzrə aşkar edilmiş potensial TSS-ları ilə müvafiq genlərin annotasiya olunmuş gen başlangıcı arasındaki məsafələr hər iki promotor sinfi (TATA və qeyri-TATA) üzrə birlikdə və ayrı-ayrılıqda təhlil olunmuşdur (**Cədvəl 2, 3, 4**). Əlavə olaraq, nümunə kimi, şəkil 1-də bütün genlər üzrə qeyd olunan məsafələrin paylanması histogramı da verilir.

Hər bir gen üçün annotasiya olunmuş gen başlangıcına ən yaxın TSS götürülməklə, TSSPlant vasitəsi ilə tapılmış potensial TSS (TSSp) və gen başlangıcı arasındaki məsafə hesablanmışdır: analiz olunmuş genlərin ~51,2%-ində potensial TSS annotasiya olunmuş gen başlangıcının yaxınlığında (≤ 50 nc məsafədə) yerləşir; TSSp və gen başlangıcı arasında məsafə 100 nc-dən çox olmayan genlər isə bütün genlərin ~70%-ini təşkil edir. O cümlədən, genlərin annotasiya olunmuş başlangıcı ətrafında (≤ 50 nc məsafədə):

- bütün genlər üzrə, kəsəkotunda 10355, soyada 20202, qara yoncada 10477, qovaq ağacında 8222, şərab üzümündə 4970, düyüdə 11827 və qarğıdalıda 11993 TSS aşkar olunmuşdur;

- plastid təyinatlı genlər üzrə, kəsəkotunda 2268, soyada 2701, qara yoncada 2197, qovaq ağacında 1444, şərab üzümündə 928, düyüdə 2411 və qarğıdalıda 2658 TSS aşkar olunmuşdur;

- mitoxondri təyinatlı genlərdə kəsəkotunda 871, soyada 1183, qara yoncada 898, qovaq ağacında 586, şərab üzümündə 376, düyüdə 936 və qarğıdalıda 986 TSS aşkar edilmişdir.

Bu nöticələr göstərir ki, TSSPlant programı vasitəsi ilə müəyyənləşdirilmiş potensial TSS-ları əksər hallarda annotasiya olunmuş gen başlangıcı ətrafında yerləşir. Potensial TSS-larının annotasiya başlangıcından nisbətən uzaqda yerləşdiyi hallar ilə bağlı qeyd etmək lazımdır ki, istifadə olunmuş genom annotasiyalarında genləri başlangıcı mRN (transkriptom) məlumatlarının məhdudluğu üzündən bir çox hallarda dəqiq deyildir.

Cədvəl 2. 7 ali bitkinin zülal kodlaşdırın nüvə genlərinin annotasiya olunmuş başlangıç nöqtəsi ilə həmin başlangıca ən yaxın potensial TSS arasındaki məsafə üzrə ümumi statistik göstəricilər (bütün genlər üçün)

| Orqanizm | Promotor sinfi | Potensial TSS və annotasiya olunmuş genin başlangıcı arasındaki məsafə, nc | | | | | |
|-------------|----------------|--|--------|---------|---------|---------|------|
| | | 0-50 | 51-100 | 101-200 | 201-400 | 401-600 | 600+ |
| <i>A.t.</i> | cəmi | 10355 | 2447 | 3474 | 1583 | 28 | 9 |
| | TATA | 3489 | 688 | 907 | 421 | 22 | 7 |
| | qeyri-TATA | 6866 | 1759 | 2567 | 1162 | 6 | 2 |
| <i>G.m</i> | cəmi | 20202 | 5470 | 8902 | 4075 | 40 | 13 |
| | TATA | 4084 | 596 | 787 | 347 | 18 | 1 |
| | qeyri-TATA | 16118 | 4874 | 8115 | 3728 | 22 | 12 |
| <i>M.t</i> | cəmi | 10477 | 2361 | 3610 | 1760 | 15 | 3 |
| | TATA | 2578 | 377 | 461 | 175 | 8 | 1 |
| | qeyri-TATA | 7899 | 1984 | 3149 | 1585 | 7 | 2 |
| <i>O.s.</i> | cəmi | 11827 | 2745 | 4351 | 2853 | 309 | 173 |
| | TATA | 3986 | 759 | 1436 | 1070 | 139 | 67 |
| | qeyri-TATA | 7841 | 1986 | 2915 | 1783 | 170 | 106 |
| <i>P.t</i> | cəmi | 8222 | 2447 | 4526 | 2392 | 50 | 8 |
| | TATA | 2632 | 433 | 609 | 321 | 17 | 4 |
| | qeyri-TATA | 5590 | 2014 | 3917 | 2071 | 32 | 4 |
| <i>V.v.</i> | cəmi | 4970 | 1497 | 2654 | 1688 | 148 | 78 |
| | TATA | 1724 | 359 | 487 | 316 | 76 | 37 |
| | qeyri-TATA | 3246 | 1138 | 2167 | 1372 | 72 | 41 |
| <i>Z.m</i> | cəmi | 11993 | 2713 | 4751 | 3169 | 483 | 221 |
| | TATA | 4428 | 937 | 1894 | 1357 | 229 | 104 |
| | qeyri-TATA | 18995 | 1776 | 2857 | 1812 | 254 | 117 |

A.t. – Arabidopsis thaliana; M.t. – Medicago truncatula; P.t. – Populus trichocarpa; G.m. – Glycine max; V.v. – Vitis vinifera;

O.s. – Oryza sativa; Z.m. – Zea mays.

Cədvəl 3. 7 ali bitkinin zülal kodlaşdırın nüvə genlərinin annotasiya olunmuş başlangıç nöqtəsi ilə həmin başlangıca ən yaxın potensial TSS arasındaki məsafə üzrə ümumi statistik göstəricilər (yalnız plastid təyinatlı genlər üçün)

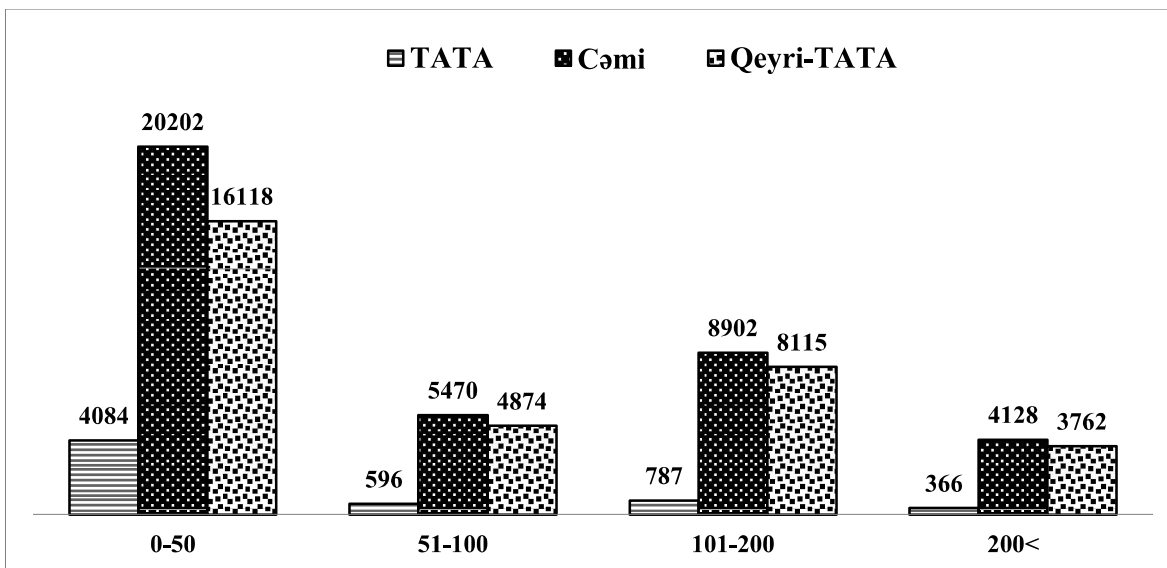
| Organizm | Promotor sınıfı | Potensial TSS və annotasiya olunmuş genin başlangıcı arasındaki məsafə, nc | | | | |
|-------------|-----------------|--|--------|---------|---------|---------|
| | | 0-50 | 51-100 | 101-200 | 201-400 | 401-600 |
| <i>A.t.</i> | cəmi | 2268 | 592 | 765 | 360 | 5 |
| | TATA | 755 | 187 | 219 | 98 | 3 |
| | qeyri-TATA | 1513 | 405 | 546 | 262 | 2 |
| <i>G.m</i> | cəmi | 2701 | 734 | 1267 | 546 | 3 |
| | TATA | 431 | 79 | 110 | 46 | 3 |
| | qeyri-TATA | 2270 | 655 | 1157 | 500 | 0 |
| <i>M.t</i> | cəmi | 2197 | 486 | 727 | 343 | 6 |
| | TATA | 442 | 85 | 84 | 43 | 3 |
| | qeyri-TATA | 1755 | 401 | 643 | 300 | 3 |
| <i>O.s.</i> | cəmi | 2411 | 536 | 899 | 584 | 54 |
| | TATA | 660 | 123 | 283 | 209 | 27 |
| | qeyri-TATA | 1751 | 413 | 616 | 375 | 27 |
| <i>P.t</i> | cəmi | 1444 | 483 | 856 | 417 | 12 |
| | TATA | 401 | 80 | 101 | 36 | 3 |
| | qeyri-TATA | 1043 | 403 | 755 | 381 | 9 |
| <i>V.v.</i> | cəmi | 928 | 290 | 503 | 325 | 13 |
| | TATA | 261 | 58 | 74 | 57 | 8 |
| | qeyri-TATA | 667 | 232 | 429 | 268 | 15 |
| <i>Z.m</i> | cəmi | 2658 | 596 | 1067 | 701 | 72 |
| | TATA | 844 | 221 | 415 | 296 | 68 |
| | qeyri-TATA | 1814 | 375 | 652 | 405 | 42 |

A.t. – Arabidopsis thaliana; M.t. – Medicago truncatula; P.t. – Populus trichocarpa; G.m. – Glycine max; V.v. – Vitis vinifera; O.s. – Oryza sativa; Z.m. – Zea mays.

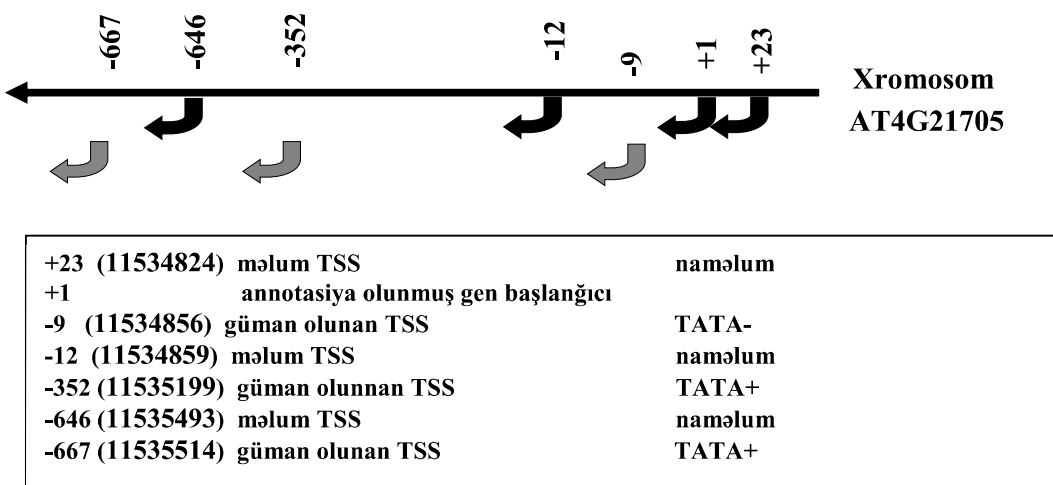
Cədvəl 4. 7 ali bitkinin zülal kodlaşdırın nüvə genlərinin annotasiya olunmuş başlangıç nöqtəsi ilə həmin başlangıca ən yaxın potensial TSS arasındaki məsafə üzrə ümumi statistik göstəricilər (yalnız mitokondri təyinatlı genlər üçün)

| Organizm | Promotor sınıfı | Potensial TSS və annotasiya olunmuş genin başlangıcı arasındaki məsafə, nc | | | | |
|-------------|-----------------|--|--------|---------|---------|---------|
| | | 0-50 | 51-100 | 101-200 | 201-400 | 401-600 |
| <i>A.t.</i> | cəmi | 871 | 215 | 296 | 146 | 4 |
| | TATA | 277 | 64 | 84 | 40 | 4 |
| | qeyri-TATA | 594 | 151 | 212 | 106 | 0 |
| <i>G.m</i> | cəmi | 1183 | 361 | 529 | 262 | 3 |
| | TATA | 219 | 33 | 53 | 25 | 2 |
| | qeyri-TATA | 964 | 328 | 476 | 237 | 1 |
| <i>M.t</i> | cəmi | 898 | 208 | 305 | 157 | 1 |
| | TATA | 184 | 25 | 38 | 21 | 0 |
| | qeyri-TATA | 714 | 183 | 267 | 136 | 2 |
| <i>O.s.</i> | cəmi | 936 | 196 | 346 | 236 | 33 |
| | TATA | 247 | 50 | 109 | 92 | 17 |
| | qeyri-TATA | 689 | 146 | 237 | 144 | 16 |
| <i>P.t</i> | cəmi | 586 | 212 | 344 | 163 | 2 |
| | TATA | 174 | 32 | 42 | 16 | 0 |
| | qeyri-TATA | 412 | 80 | 302 | 147 | 2 |
| <i>V.v.</i> | cəmi | 376 | 116 | 179 | 139 | 15 |
| | TATA | 115 | 19 | 32 | 26 | 8 |
| | qeyri-TATA | 261 | 97 | 147 | 113 | 7 |
| <i>Z.m</i> | cəmi | 986 | 251 | 385 | 251 | 30 |
| | TATA | 309 | 87 | 160 | 105 | 12 |
| | qeyri-TATA | 677 | 164 | 225 | 146 | 18 |

A.t. – Arabidopsis thaliana; M.t. – Medicago truncatula; P.t. – Populus trichocarpa; G.m. – Glycine max; V.v. – Vitis vinifera; O.s. – Oryza sativa; Z.m. – Zea mays.



Şəkil 1. Soya bitkisinin annotasiya olunmuş bütün nüvə genlərinin başlangıcı ilə ona ən yaxın güman olunan TSS arasındakı məsafələrin TATA və qeyri-TATA sinifləri üzrə ayrı-ayrılıqda və birlikdə paylanması.



Şəkil 2. Kəsəkotu bitkisinin tərkibində pentatrikopeptid təkrarları olan zülali kodlaşdırın AT4G21705 geninin məlum və güman olunam TSS-larının annotasiya olunmuş gen başlangıcına və bir-birinə nəzərən yerləşməsinin sxemi. TSS-larının xromosom koordinatları TAIR *A.thaliana* ver6.0 genom annotasiyasına uyğundur. “Naməlum”: promotor sinifi məlum deyildir.

Əksər genlər üçün birdən çox potensial TSS-nin tapılması faktı əksər genlərin transkripsiyasının çoxsayılı alternativ promotorlardan (TSS-larından) həyata keçirilməsi ilə bağlı təcrübə faktlarla uzlaşırlar (Davuluri et al., 2008). Məsələn, kəsəkotu bitkisinin tərkibində pentatrikopeptid təkrarları olan zülali kodlaşdırın AT4G21705 genində təcrübə yolla 4 TSS müəyyənləşdirilmişdir (Lurin et al., 2004). Bizim TSSPlant analizimiz isə həmin genin promotor nahiyyəsində 3 potensial TSS aşkar etmişdir. Həmin təcrübə və potensial TSS-larının bir-birinə nə-

zərən yerləşməsinin müqayisəsi (şəkil 2) TSSPlant programının axtarış dəqiqliyi yüksəkdir.

MİNÑƏTDARLIQ

Bu iş Azərbaycan Respublikasının Prezidenti yanında Elmin İnkışafı Fonduunun maliyyə yardımı ilə yerinə yetirilmişdir – Qrant № EIF/GAM-3-2014-6(21)-24/16/3.

ƏDƏBİYYAT

- Abeel T., Saeys Y., Bonnet E., Rouze P., van de Peer Y. (2008) Generic eukaryotic core promoter prediction using structural features of DNA. *Genome Res.*, **18**: 310-23.
- Altschul S.F., Madden T.L., Schäffer A.A., Zhang J., Zhang Z., Miller W., Lipman D.J. (1997) Gapped BLAST and PSIBLAST: a new generation of protein database search programs. *Nucl. Acids Res.*, **25**: 3389-3402.
- Akiyama K., Kurotani A., Iida K., Kuromori T., Shinozaki K., Sakurai T. (2014) RARGE II: an integrated phenotype database of Arabidopsis mutant traits using a controlled vocabulary. *Plant Cell Physiol.*, **55**(1): e4.
- Butler J.E.S Kadonaga J.T. (2002) The RNA polymerase II core promoter: a key component in the regulation of gene expression. *Genes Dev.*, **16**: 2583-2592.
- Cooper S.J., Trinklein N.D., Anton E.D. et al. (2006) Comprehensive analysis of transcriptional promoter structure and function in 1% of the human genome. *Genome Res.*, **16**: 1-10.
- Carninci P., Sandelin A., Lenhard B. et al. (2006) Genome-wide analysis of mammalian promoter architecture and evolution. *Nat. Genet.*, **38**: 626-635.
- Chen Ch., Lin Hy., Pan C.L., Chen F. C. (2011) The genomic features that affect the lengths of 5' untranslatable regions in multicellular eukaryotes. *BMC Bioinformatics*, **12 Suppl 9**: S3.
- Davuluri R.V., Suzuki Y., Sugano S., Plass C., Huang T.H. (2008) The functional consequences of alternative promoter use in mammalian genomes. *Trends Genet.*, **24**: 167-177.
- Dreos R., Ambrosini G., Périer R., Bucher P. (2013) EPD and EPDnew, high-quality promoter resources in the next-generation sequencing era. *Nucl. Acids Res.*, **41**: D157-D164.
- Dreos R., Ambrosini G., Périer R., Bucher P. (2015) The Eukaryotic Promoter Database: expansion of EPDnew and new promoter analysis tools. *Nucl. Acids Res.*, **43**: D92-D96.
- Fred Y.P., Zhiqiu H., Rong-Cai Y. (2016). Bioinformatic prediction of transcription factor binding sites at promoter regions of genes for photoperiod and vernalization responses in model and temperate cereal plants. *BMC Genomics*. **17**: 573.
- Geetu T., Karen Betancourt M., Tisha C., Jenny C., Aaron M.W., Gill B. (2014) Automated discovery of tissue-targeting enhancers and transcription factors from binding motif and gene function data. *PLoS Comput Biol.*, **10**(1): e1003449.
- Hieno A., Naznin H.A., Hyakumachi M., Sakurai T., Tokizawa M., Koyama H. et al. (2014) ppdb: plant promoter database version 3.0. *Nucl. Acids Res.*, **42**: D1188-D1192.
- Hebing C., Hao L., Feng L., Xiaofei Z., Shengqi W., Xiaochen B., Wenjie S. (2015) An integrative analysis of TFBS-clustered regions reveals new transcriptional regulation models on the accessible chromatin landscape. *Sci. Rep.*, **5**: 8465.
- Hinnebusch A.G., Ivanov I., Sonenberg N. (2016) Translational control by 5'-untranslated regions of eukaryotic mRNAs. *Science* **352(6292)**: 1413-1416.
- Kim Y., Goeun L., Eunhyun J. et al. (2014) The immediate upstream region of the 5'-UTR from the AUG start codon has a pronounced effect on the translational efficiency in *Arabidopsis thaliana*. *Nucleic acid Res.*, **42**(1): 485-498.
- Koch F., Jourquin F., Ferrier P., Andrau J-C. (2008) Genomewide RNA polymerase II: not genes only! *TIBS*, **33**: 265-273.
- Lemon B., Tjian R. (2000) Orchestrated response: a symphony of transcription factors for gene control. *Genes Dev.*, **14**: 2551-2569.
- Levati E., Sartini S., Ottonello S., Montanini B. (2016) Dry and wet approaches for genome-wide functional annotation of conventional and unconventional transcriptional activators. *Comput. Struct. Biotechnol. J.*, **14**: 262-270.
- Lurin C., Andrés C., Aubourg S., Bellaoui M., Bitton F., Bruyère C., Caboche M., Debast C., Gualberto J., Hoffmann B. et al. (2004) Genome-wide analysis of *Arabidopsis* pentatricopeptide repeat proteins reveals their essential role in organelle biogenesis. *Plant Cell*, **16**: 2089-2103.
- Mundade R., Ozer H.G., Wei H., Prabhu L., Lu T. (2014) Role of ChIP-seq in the discovery of transcription factor binding sites, differential gene regulation mechanism, epigenetic marks and beyond. *Cell Cycle*, **13**: 2847-2852.
- Morey C., Mookherjee S., Rajasekaran G., Bansal M. (2011) DNA free energy-based promoter prediction and comparative analysis of *Arabidopsis* and rice genomes. *Plant Physiol.*, **156**: 1300-1315.
- Rangannan V., Bansal M. (2009) Relative stability of DNA as a generic criterion for promoter prediction: whole genome annotation of microbial genomes with varying nucleotide base composition. *Mol. Biosyst.*, **5**: 1758-1769.
- Sakurai T., Satou M., Akiyama K., Iida K., Seki M., Kuromori T., Ito T., Konagaya A., Toyoda T., Shinozaki K. (2005) RARGE: a large-scale database of RIKEN Arabidopsis resources ranging from transcriptome to phenome. *Nucleic Acids Res.*, **33**: D647-650.
- Shahmuradov I.A., Gammerman A.J., Hancock J.M., Bramley P.M., Solovyev V.V. (2003) Plant Prom: a database of plant promoter sequences. *Nucl. Acids. Res.*, **31**: 114-117.
- Shahmuradov I.A., Solovyev V.V. (2015) Nsite, NsiteH and NsiteM computer tools for studying

- transcription regulatory elements. *Bioinformatics*, **31**: 3544-3545.
- Shahmuradov I.A., Solovyev, V.V., Gammerman A.J.** (2005) Plant promoter prediction with confidence estimation. *Nucl. Acids Res.*, **33**: 1069-1076.
- Shahmuradov I.A., Abdulazimova A.U., Khan F.Z., Solovyev V.V., Mustafayev N.Sh., Akbarova Y.Yu., Qamar R., Aliyev J.A.** (2012) The PlantProm DB: recent updates. In: *Proceedings of the 2012 International Conference on Biomedical Engineering and Biotechnology* (iCBEB), China, Macau, 612-614.
- Shahmuradov I.A., Mohammad R.R., Bougouffa A., Radovanovich A., Bajic V.B.** (2017) bTSSfinder: a novel tool for the prediction of promoters in Cyanobacteria and *Escherichia coli*. *Bioinformatics*, **33** (3): 334-340.
- Shahmuradov I.A., Umarov R.K., Solovyev V.V.** (2017) TSSPlant: a new tool for prediction of plant Pol II promoters. *Nucl. Acids Res.*, doi: [10.1093/nar/gkw1353](https://doi.org/10.1093/nar/gkw1353).
- Smale S.T., Kadonaga J.T.** (2003) The RNA polymerase II core promoter. *Annu. Rev. Biochem.*, **72**: 449-479.
- Sandelin A.** (2007) Mammalian RNA polymerase II core promoters: insights from genome-wide studies. *Nature Reviews*, **8**: 424-436
- Suzuki Y. et al.** (2001) Identification and charac- terization of the potential promoter regions of 1031 kinds of human genes. *Genome Res.*, **11**: 677-684.
- Suryamohan K., Halfon M.S.** (2015) Identifying transcriptional cis-regulatory modules in animal genomes. *Wiley Interdiscip. Rev. Dev. Biol.*, **4**: 59-84.
- Taylor M.S.** (2006) Heterotachy in mammalian promoter evolution. *PLoS Genet.*, **2**: e30
- Tak-Ming C., Kwong-Sak L., Kin-Hong L., Man-Hon W., Terrence C.K.L., Stephen K.W.T.** (2012) Subtypes of associated protein-DNA (Transcription Factor-Transcription Factor Binding Site) patterns. *Nucleic Acids Res.*, **40**(19): 9392-9403.
- Xu M., Gonzalez-Hurtado E., Martinez E.** (2016) Core promoter-specific gene regulation: TATA box selectivity and Initiator-dependent bi-directionality of serum response factor-activated transcription. *Biochim. Biophys. Acta*, **1859**(4): 553-563.
- Yamamoto Y.Y., Obokata J.** (2008) ppdb: a plant promoter database. *Nucl. Acids Res.*, **33**: D977-D981.
- Zuo Y.C., Li Q.Z.** (2011) Identification of TATA and TATA-less promoters in plant genomes by integrating diversity measure, GC-skew and DNA geometric flexibility. *Genomics*, **97**: 112-120.

Определение Потенциальных Сайтов Старта Транскрипции Белок-кодирующих Ядерных Генов в 7-и Высших Растениях

Х.Ф. Кулиева, А.У. Абдулазимова, Н.Ш. Мустафаев, И.А. Шахмурадов

Институт молекулярной биологии и биотехнологий НАН Азербайджана

С помощью компьютерной программы TSSPlant проведен поиск возможных сайтов старта транскрипции (CCT) – промоторов в [-1000:+101] районах (+1: аннотированное начало гена) 22,258, 23,330, 17,896, 18,226, 17,645, 38,702 и 11,035 (всего 149,092) белок-кодирующих генов, соответственно у *Oryza sativa* и *Zea mays* (однодольные), *Arabidopsis thaliana*, *Glycine max*, *Medicago truncatula*, *Populus trichocarpa* (двудольные) и *Vitis vinifera*. Для каждого гена найден, как минимум, один CCT. Сравнительный анализ этих CCT по классу промоторов для всех генов, в том числе, для пластидных и митохондриальных генов в отдельности, выявил, что у всех растений подавляющее большинство промоторов относится к не-TATA промоторам (~70% не-TATA промоторы против ~30% TATA промоторы). Анализ расстояний между потенциальным TSSp и началом гена для всех изученных видов, показал, что при условии использования самого близкого к аннотированному началу гена CCT, для 70% и больше генов это расстояние составляет менее 100 нуклеотидов. Последнее наблюдение указывает на достаточно высокую предсказательную точность программы TSSPlant.

Ключевые слова: Высшее растение, геном, ген, TATA-бокс, промотор, CCT, компьютерный анализ

**Identification Potential Transcription Start Sites of Protein Encoded
Nuclear Genes in 7 Higher Plants**

H.F. Gulyeva, A.U. Abdulazimova, N.Sh. Mustafayev, I.A. Shahmuradov

Institute of Molecular Biology and Biotechnologies, Azerbaijan National Academy of Sciences

Using the computer program TSSPlant, search for putative transcription start sites (TSS) – promoters in [-1000:+101] regions (+1 is the annotated gene start) of 22,258, 23,330, 17,896, 18,226, 17,645, 38,702 and 11,035 (totally, 149,092) protein-coding genes from monocot *Oryza sativa* and *Zea mays*, dicot *Arabidopsis thaliana*, *Glycine max*, *Medicago truncatula*, *Populus trichocarpa* and *Vitis vinifera*, respectively, was performed. At least, one potential TSS for every gene was predicted. The comparative analysis of these TSSs by the promoter class for all genes, as well as for only plastid or mitochondrial genes revealed that in all plants TATA-less promoters prevail over the TATA-promoters (~70% TATA-less promoters vs ~30% TATA-promoters). Taking, for every gene, only the predicted TSS (TSSp) which is located closest to the annotated gene start, an analysis of distances between TSSp and gene starts showed that for 70% and more genes this distance is less than 100 bp. These findings indicate that the prediction accuracy of TSSPlant program is quite high.

Keywords: *Higher plant, genome, gene, TATA-box, promoter, TSS, computational analysis*